

Sol-Gel 법에 의한 Al_2O_3 - ZrO_2 계 분말제조에 있어서 결정화 및 Seeding 효과

오한석 · 홍기곤 · 이홍림

연세대학교 공과대학 요업공학과

(1988년 5월 4일 접수)

Effects of Crystallization and Seeding on Characteristics of Al_2O_3 - ZrO_2
Powder Prepared by a Sol-Gel Method

Han-Seog Oh, Gi-Gon Hong and Hong-Lim Lee

Dept. of Ceramic Engineering, Yonsei University

(Received May 4, 1988)

요약

Boehmite와 Zirconium acetate를 출발물질로 하여 sol-gel 법으로 α - Al_2O_3 -15 m/o ZrO_2 계의 미분말을 제조하였다. 이때 boehmite가 α - Al_2O_3 로 상전이하는 온도는 Al_2O_3 - ZrO_2 계의 공결정화(coupled crystallization)에 의해 증가하였으나 α - Al_2O_3 를 2 wt% seed로 첨가했을 때는 α - Al_2O_3 로의 상전이 온도를 낮출 수 있었다. 1100 °C에서 100분간 가열하여 α - Al_2O_3 -15 m/o ZrO_2 분말을 제조하였으며 분말의 비표면적은 13.2 m²/g이었다.

ABSTRACT

α - Al_2O_3 -15 m/o ZrO_2 powder was prepared by a sol-gel method from boehmite and zirconium acetate. The transformation temperature of boehmite to α - Al_2O_3 in the system Al_2O_3 - ZrO_2 was increased due to the coupled crystallization. On the other hand, the transformation temperature from boehmite to α - Al_2O_3 could be decreased when 2 wt% α - Al_2O_3 was added to this system as a seed. The fine power of α - Al_2O_3 -15 m/o ZrO_2 could be prepared at 1100 °C for 100 min. The specific surface area of the product of α - Al_2O_3 -15 m/o ZrO_2 was 13.2 m²/g.

1. 서 론

이상복합체의 경우, 중간에 boehmite sol을 거쳐 Al_2O_3 - ZrO_2 계를 제조한 연구가 Becher¹⁾ 등에 의해서 미해군 연구소에서 1978년에 최초로 시도되고, 계속적인 연구

과들이^{2~3)} 나오고 있으나, 근본적인 실험과정들이 know-how로 되어있어 참고가 어려운 형편이다. 또한, boehmite colloid sol-gel 법을 이용한 Al_2O_3 - ZrO_2 계의 연마제를 1250 °C에서 제조한 연구⁴⁾가 있지만, 그 과학적 정밀성이 인정받지 못하여 인용이 제한되고 있다. 이외에

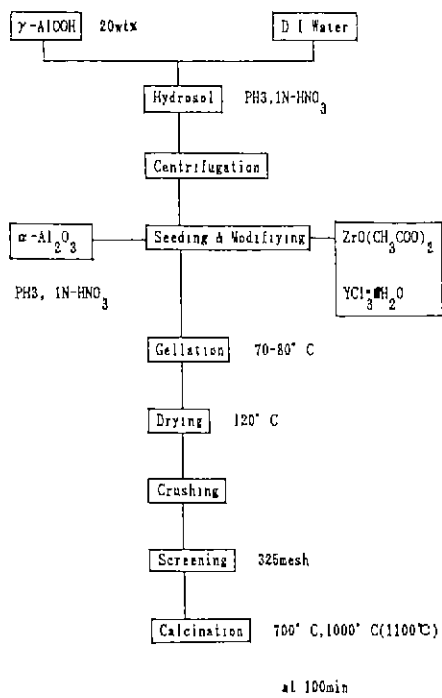


Fig. 1 Experimental procedure

도 mullite($3Al_2O_3 \cdot 2SiO_2$)를 boehmite sol과 silica sol을 혼합하여 1300°C에서 제조한 연구가⁵⁾ 있었지만, 역시 mechanism을 밝히지는 못했다.

그러니, Messing^{6~7)} 등이 α -Al₂O₃와 기타 일련의 seed들을 첨가하여 topotactic 전이의 핵형성 에너지를 낮추어 전이온도를 감소시키고, 핵형성시 핵의 밀도를 증가시켜 vermicular 구조를 계거시킴으로써 boehmite를 이용한 α -Al₂O₃ 제조를 저온에서 가능하게 하였다. 또한, Al₂O₃-MgO계⁸⁾에도 seed를 첨가하여 결정화 온도를 1275°C에서 1150°C로 낮추고 효과를 얻어, α -Al₂O₃와 이상복합체의 분말제조를 위한 공업적 이용의 활로를 모색하게 되었다.

여기에서, 본 실험의 목적은 sol-gel 법으로 Al₂O₃(α)-15m/o ZrO₂의 원료분말을 제조하는 것이다. 이때, seed를 첨가하여 공결정화로 인한 결정화 온도의 상승을 억제하여 보다 낮은 온도에서 원료분말을 제조하는 것이다.

2. 실험방법

본 실험의 공정도는 Fig. 1에 나타낸 바와 같다. 먼저

비정질 boehmite를 2차 중류수에 20wt% 첨가한 후, 1N-HNO₃를 첨가하여 pH 3으로 조절하였다. 이렇게 해서 만든 hydrosol을 20분 동안 초음파처리를 행한후, 원심분리기에서 2800RPM으로 5분간 원심분리시키고 0.1μm 이상의 입자는 제거하였다. 그리고, α -Al₂O₃를 pH 3의 hydrosol로 만들어 seed로 첨가하였으며 이때 seed 첨가량은 2wt%로 고정시켰다.⁹⁾ seed 첨가시에 ZrO₂ 공급원으로 ZrO(CH₃COO)₂를 사용하여 첨가량이 15m/o가 되도록 하였으며 ZrO₂의 안정화제로서 YCl₃·6H₂O를 사용하였는데 ZrO₂에 대해서 Y₂O₃가 3m/o 되도록 하여 70~80°C에서 교반하면서 젤화시키고, 120°C에서 긴 조시킨 후 분쇄하여 325mesh를 통과시켰다. 그리고, 700, 1000, 1100°C에서 각각 100분간 하소하여 분말을 제조한 뒤 BET, X-선 회절분석, IR 분광분석, 전자현미경 관찰을 행하여 분밀특성을 조사하였다. 또한 본 연구에서 사용한 시약을 Table 1에 나타내었다.

3. 결과 및 고찰

3. 1 ZrO(CH₃COO)₂와 AlOOH-ZrO(CH₃COO)₂의 DTA/TGA 분석결과

Fig. 2에 ZrO(CH₃COO)₂-AlOOH-ZrO(CH₃COO)₂의 DTA/TGA 결과를 나타내었다. (a)의 경우는 ZrO(CH₃COO)₂의 열분해 결과를 나타내었는데, 120°C 부근의 흡열피크는 부착수의 탈수를 나타내며 210°C의 310°C 부근에서 OH⁻기의 2단계 탈수에 의한 흡열피크가 나타나고, 390°C에서 OR기 인소에 의한 발열피크가 나타난다. 이때 TGA 분석결과 46wt%의 중량감소를 나타내었다. 또한 500°C에서의 발열피크는 정방정 ZrO₂의 결정화에 의한 것이며 860°C에서의 발열피크는 ZrO₂의 정방정 → 단사정으로의 전이에 의한 것이다.

일반적으로, ZrO₂는 단사정이 성온에서 안정하나, 출발물질이 여러 화학반응을 거쳐 결정화하여 미세한 분말을 형성하는 습식 화학법에서는 정방정이 단사정보다 낮

Table 1. The Reagent of Specimens.

Reagent	Company	Grade of Reagent
γ -AlOOH	Keiser Chemicals	Guaranteed Grade
ZrO(CH ₃ COO) ₂	Misuwa Pure Chemicals	Chemical Pure
YCl ₃ ·6H ₂ O	Aldrich Chemicals	Guaranteed Grade
α -Al ₂ O ₃	Sumimoto Chemicals	Guaranteed Grade

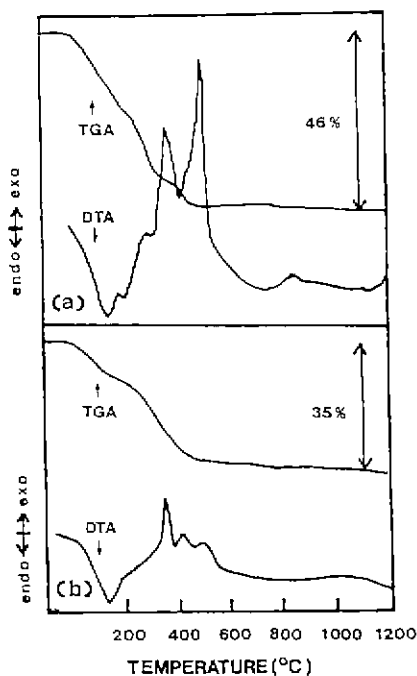


Fig. 2. DTA/TGA curves of
 (a) $\text{ZrO}(\text{CH}_3\text{COO})_2$
 (b) $\text{AlOOH}-\text{ZrO}(\text{CH}_3\text{COO})_2$

은 표면에너지를 갖는다는 표면에너지 효과와 임자크기 효과^{10~11)}에 의해 낮은 자유에너지를 갖는 정방정이 먼저 형성되고 온도증가에 따라 수산화물의 증발 효과¹²⁾와 임자성장에 의해 보다 안정한 단사정으로 전이한다.^{11,13)}

Fig. 3은 $\text{ZrO}(\text{CH}_3\text{COO})_2$ 의 온도변화에 따른 X-선회절분석 결과를 나타내었다. 여기서 상온에서는 비정질상을 유지하고 (a), 600°C에서는 모두 정방정으로 결정화했으나 (b), 1000°C에서 단사정으로 전이하여 (c), DTA 결과와 일치함을 알 수 있다.

Fig. 2의 (b)는 $\text{AlOOH}-\text{ZrO}(\text{CH}_3\text{COO})_2$ 의 DTA/TGA 결과이며, TGA 분석결과 35wt%의 중량감소를 나타내었고, DTA 결과에서는 120°C 부근에서 부착수와 OH기의 탈수에 의한 광범위한 휴열피크를 나타내며, 350°C에서 OR기의 연소, 410°C에서 γ - Al_2O_3 의 결정화피크가 나타났다. 500°C에서는 정방정 ZrO_2 의 결정화피크가 나타났으나, 860°C에서는 $\text{ZrO}(\text{CH}_3\text{COO})_2$ 단독의 경우와는 달리 단사정으로의 전이피크는 나타나지 않았다. 이는 안정화제로 ZrO_2 에 대해 3m/o의 Y_2O_3 를 첨가하였으며, ZrO_2 의 균일한 분산에 의해시 임자크기성장

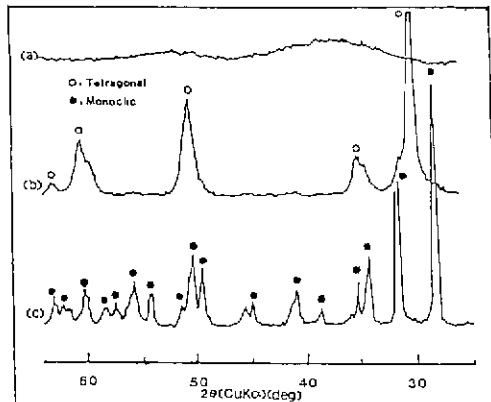


Fig. 3. XRD patterns of $\text{ZrO}(\text{CH}_3\text{COO})_2$ as a function of temperature,
 (a) commercial, (b) 600°C, (c) 1000°C

이 모상인 Al_2O_3 에 의하여 제한되었기 때문이다. 이와 같은 현상은 alkoxide sol-gel 법에 의해 세조한 Al_2O_3 - ZrO_2 계에서 Al_2O_3 에 의해 ZrO_2 의 결정성장이 방해되어 1700°C 까지 단사정으로 전이한 양이 5%도 안되었다는 Pugar 등¹⁴⁾의 보고와 α - Al_2O_3 hydrosol에 $\text{Zr}(\text{NO}_3)_4$ 를 첨가하여 Al_2O_3 - ZrO_2 세를 합성한 경우에는 정방정을 유지하나, ZrO_2 단미의 경우에는 1150°C에서 단사정으로 전이된다는 Sproson 등¹⁵⁾의 보고와 일치하고 있다.

3. 2 Al_2O_3 - ZrO_2 계의 결정화와 seeding 효과

Al_2O_3 - ZrO_2 계의 공결성회(coupled crystallization)에 대한 연구는 습식화학법의 역사가 짧기 때문에 많이 진행되어있지 않다. 그러나, $\text{CaMg}(\text{CO}_3)$ 에서 CaO - MgO 계로의 결정화와 분해과정에서 두 상의 상호작용으로 결정화가 크게 방해됨이 확인된 바 있고,¹⁶⁾ 방사능 폐기물의 고정제료에 대한 연구¹⁷⁾에서 절산염과 알록사이드에 수산화알루미늄, boehmite 등을 염기성물질로 첨가하여 젤을 만들어 열처리하면, 서로의 결정화를 방해한다고 보고하였다. Al_2O_3 - ZrO_2 계의 경우는 알록사이드법에 의해 제조한 경우 Al_2O_3 의 결정화 방해현상이 나타남을 Pugar¹⁴⁾ 등이 보고하였다.

Fig. 4는 1000°C에서의 Al_2O_3 - ZrO_2 계 X-선회절분석결과이다. seeding 한 경우(a), 부분적으로는 α - Al_2O_3 상이 존재하나 대부분 β - Al_2O_3 와 정방정 ZrO_2 로 구성되어 있으며, seed를 첨가하지 않은 경우(b)에는 α - Al_2O_3 상이 아직 형성되지 않고 있다. Fig. 5는 1100°C에서의 결과이며, seeding 한 경우(a)를 seeding 하지 않은 경우(b)와 비교해 보면 seed 첨가효과에 의해 α - Al_2O_3

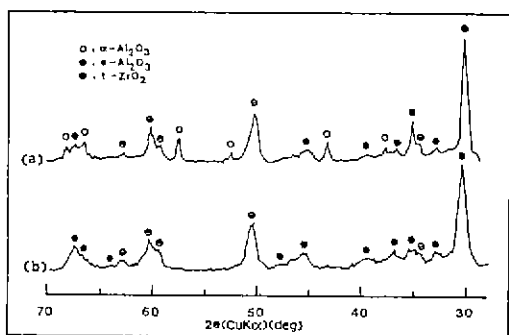


Fig. 4. XRD patterns of $\text{AlOOH}-\text{ZrO}(\text{CH}_3\text{COO})_2$ heated at 1000°C
(a) 2 wt% seeded, (b) non-seeded powders

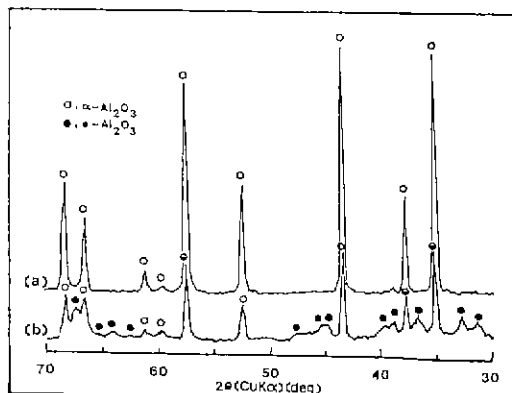


Fig. 6. XRD patterns of AlOOH heated at 1000°C
(Ref. 9)
(a) 2 wt% seeded, (b) non-seeded AlOOH

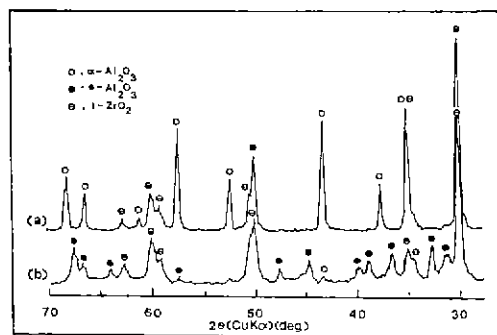


Fig. 5. XRD patterns of $\text{AlOOH}-\text{ZrO}(\text{CH}_3\text{COO})_2$ heated at 1100°C
(a) 2 wt% seeded, (b) non-seeded powders

로의 완전한 전이가 일어났음을 알 수 있다. Fig. 6과 비교해 보면 $\text{ZrO}(\text{CH}_3\text{COO})_2$ 의 첨가로 Al_2O_3 단독인 경우의 전이온도인 1000°C 보다, 먼저 형성된 정방정 ZrO_2 가 $\alpha-\text{Al}_2\text{O}_3$ 로의 결정화를 방해하여, 100°C 높은 1100°C 에서 전이를 완료시켰음을 알 수 있다. Fig. 7은 온도에 따른 IR 분석결과이며, Gel-fragment의 경우(a)는 Boehmite 특성피크 81400 , 1650 , 3500 cm^{-1} 와 $\text{ZrO}(\text{CH}_3\text{COO})_2$ 의 특성인 C-H 피크(1070 , 3100 cm^{-1})가 나타난다. 1100°C 로 가열한 경우(b)에는 O-H, H-O-H, C-H 피크들이 사라지고, seed를 침가하고 1100°C 로 가열한 경우(c)에는 완전히 결정화가 완료되어 $400\sim1000\text{ cm}^{-1}$ 영역에서 Al_2O_3 - 15 m/o ZrO_2 특성피크가 비교참조물질 (Al_2O_3 와 ZrO_2 를 ball milling으로 혼합한 분말)인(d)의 피크와 일치함을 알 수 있다. 이때, 부분적으로 나타

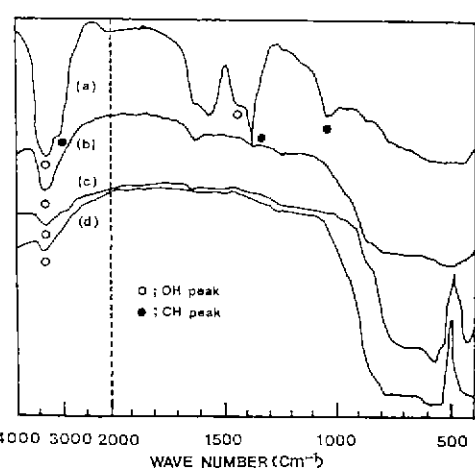


Fig. 7. IR-spectra of $\text{AlOOH}-\text{ZrO}(\text{CH}_3\text{COO})_2$ as a function of temprature and seed.
(a) gel-fragment,
(b) non-seeded, heated at 1100°C ,
(c) 2 wt% seeded, heated at 1100°C ,
(d) reference powder.

나는 3500 cm^{-1} 에서의 OH 피크는 KBr의 습윤성에 의한 것으로 생각된다. Fig. 8은 1100°C 에서 가열한 Al_2O_3 - 15 m/o ZrO_2 계의 X-선 회절분석결과로 Garvie의 점증방법¹⁸⁾에 따라 입방정의(400)과 정방정의(004), (220) 피크를 조사하여 존재하는 ZrO_2 상을 규명한 것이다. (a)는 상업용 입방정 ZrO_2 의 피크이며, seeding한 경우(b)에는 완전히 정방정만 존재함을 알 수 있고, seeding하지 않은 경우(c)에도 정방정 ZrO_2 만이 존재함을 알 수 있다.

3.3 제조된 분밀의 비표면적 및 미세구조판찰

Table. 2에 열처리 전후에 있어서 비표면적의 변화를 나타내었다. 700°C에서는 seed 침가에 관계없이 비슷한 비표면적의 값을 나타내었으나, 1100°C에서는 seed를 첨가한 경우 완전한 α - Al_2O_3 생성에 의하여 α , β 공존상을 나타내는 seed를 첨가하지 않은 경우에 비하여 비표면적이 감소함을 알 수 있다. 또한, Al_2O_3 단미의 경우보다 Al_2O_3 - ZrO_2 복합체에서 더 낮은 비표면적을 나타내었는

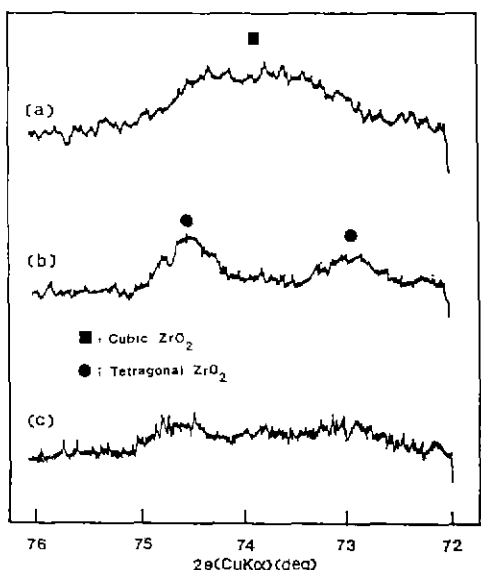


Fig. 8. XRD patterns of $\text{AlOOH}-\text{ZrO}(\text{CH}_3\text{COO})_2$ heated at 1100°C.

(a) commercial cubic ZrO_2 ,
(b) 2 wt% seeded, (c) non-seeded powder



Fig. 9. TEM photographs of Al_2O_3 -15 m/o ZrO_2 powder heated at 1100°C for 100 min.

(a) non-seeded powder
(b) 2 wt% seeded powder.

Table 2. The Specific Surface Area of Powders.

Component	Seed(wt%)	Temperature (°C)	Surface area(m ² /g)	Remark
AlOOH		Room Temp.	300.0	Ref. 9)
AlOOH		700	163.1	
AlOOH		1000	54.7	
AlOOH	2	700	156.5	
AlOOH	2	1000	16.3	
AlOOH+ $\text{ZrO}(\text{CH}_3\text{COO})_2$		700	162.3	Present Work
AlOOH+ $\text{ZrO}(\text{CH}_3\text{COO})_2$		1100	32.2	
AlOOH+ $\text{ZrO}(\text{CH}_3\text{COO})_2$	2	700	157.3	
AlOOH+ $\text{ZrO}(\text{CH}_3\text{COO})_2$	2	1100	13.2	

데 이는 ZrO_2 의 공결정화효과에 의하여 완전한 α - Al_2O_3 의 생성온도가 더 높았기 때문으로 생각된다. Fig. 9에 Al_2O_3 -15m/o ZrO_2 분말의 TEM 사진을 나타내었는데 (b)에 시 보면 Becher^{2~3)} 등이 관찰한 것과 같이 미세한 ZrO_2 입자들이 Al_2O_3 의 입자내부에도 존재함을 알 수 있고, 이러한 ZrO_2 입자들은 Al_2O_3 입자에의 이동율동력에 의하여 Al_2O_3 입자 또는 입내에 존재하게 될 것이며¹⁹⁾ 소결 후 Al_2O_3 의 기계적물성 증진에 효과적일 것으로 생각된다. 이때 1100°C에서 seed를 침가하여 제조된 $Al_2O_3(\alpha)$ -15m/o ZrO_2 계의 비표면적은 $13.2\text{ m}^2/\text{g}$ 이었다.

4. 결 론

1. $ZrO(CH_3COO)_2$ 는 온도증가시 정방정상이 먼저 결정화되고, 단사정으로 진이했으나 $AlOOH-ZrO(CH_3COO)_2$ 계의 변화는 단사정으로의 진이가 억제되었다.

2. $Al_2O_3(\alpha)$ -15m/o ZrO_2 계의 분말은 먼저 형성된 정방정 ZrO_2 에 의해서 $\theta \rightarrow \alpha$ - Al_2O_3 로의 전이가 방해되는 공결정화효과를 확인할 수 있었다.

3. $Al_2O_3(\alpha)$ -15m/o ZrO_2 계에서 ZrO_2 는 Al_2O_3 의 억제력에 의해서 상온에서도 정방정 ZrO_2 를 유지할 수 있었다.

4. $Al_2O_3(\alpha)$ -15m/o ZrO_2 계의 분말은 seed 침가에 의해서 1100°C에서 제조되었으며 비표면적은 $13.2\text{ m}^2/\text{g}$ 이었다.

5. $Al_2O_3(\alpha)$ -15m/o ZrO_2 계에서 Al_2O_3 내부에 존재하는 ZrO_2 상을 확인할 수 있었다.

REFERENCE

- P. F. Becher, et. al., "Ceramics Sintered Directly from Sol-Gel" pp 79-86 in Mat. Sci. Res. Vol. 11, Edited by H. Palmour, et. al., New York, 1978.
- P. F. Becher et. al., "Fracture Toughness of $Al_2O_3-ZrO_2$ Composites", pp 383-399 in Fracture Mechanics of Ceramics Vol. 6, Edited by R. C. Bradt et. al., Plenum New York, 1988
- P. F. Becher, "Slow Crack Growth Behavoir in Transformation-Toughened $Al_2O_3-ZrO_2(Y_2O_3)$ Ceramics", J. Am. Ceram. Soc., 66 (7) 485-488 (1983)
- M. A. Leitheiser, H. G. Sowman, "Non-Fused Aluminum Oxide Based Abrasive Materials", U. S. Pat No. 4314827, 1982.
- M. G. M. U. Ismail, et al., "Microstructure and Mechanical Properties of Mullite Prepared by the Sol-Gel Method", J. Am. Ceram. Soc., 70 (1) C-7-C-8 (1987).
- M. Kumagai and G. L. Messing, "Enhanced Densification of Boehmite Sol-Gels by α - Al_2O_3 Seeding", ibid., 67 (11) C-230-C-231 (1984).
- R. A. Shelleman, G. L. Messing and M. Kumagai, " α - Al_2O_3 Transformation in Seeded Boehmite Gels", J. Non-Crys. Sol., 88 277-285 (1986).
- Y. Suwa, et. al., "Lowering Crystallization Tempratures by Seeding in Structurally Diphasic Al_2O_3-MgO Xerogels", J. Am. Ceram. Soc., 68 (9) C-238-C-240 (1985).
- 이홍립, 오한식, 김경룡, "Boehmite Sol-Gel 법에 의한 α - Al_2O_3 분말재조지 Seeding 효과", 요업학회지 24 (5) 447-452 (1987).
- R. C. Garvie, "Occurrence of Metastable Tetragonal Zirconia as a Crystallite Size Effect", J. Phys. Chem., 69 (4) 1238-43 (1965).
- R. C. Garvie, "Stabilization of the Tetragonal Structure in Zirconia Microcrystals", ibid., 82 (2) 218-24 (1978).
- Y. Murase, et. al., "Stability of ZrO_2 Phases in Ultrafine $ZrO_2-Al_2O_3$ Mixtures", J. Am. Ceram. Soc., 69 (2) 83-87 (1986).
- E. Leroy, et. al., "Fabrication of Zirconia Fibers form Sol-Gels". pp 219-234 in Ultrasturcture Processing of Ceramics, Glasses, and Composites, Editedby L. L. Hench and D. R. Ulrich, Wiley, New York, 1984.
- E. A. Pugar and P. E. D. Morgan, "Coupled Grain Growth Effects in $Al_2O_3/10\text{ vol}\% ZrO_2$ ", ibid., 69 (6) C-120-C-123 (1986)
- D. W. Sproson and G. L. Messing, "Preparation of $Al_2O_3-ZrO_2$ Powders by Evaporative Decomposition of Solutions", J. Am. Ceram. Soc., 67 (5) C-92-C-93 (1984).
- P. E. D. Morgan, "Superpasticity in Ceramics": pp 251-71 in Ultrafine Grain Ceramics, Edited by J. J. Burke, N. L. Reed, and V. Weiss, Syracuse-

Sol-Gel 법에 의한 Al_2O_3 - ZrO_2 계 분말제조에 있어서 결정화 및 Seeding 효과

- e Univ. Press, Syracuse, NY, 1970.
17. P. E. D. Morgan, et. al., "High Alumina Tailored Nuclear Waste Ceramics", *ibid.*, 64 249 -58 (1981).
18. R. C. Garvie, et. al., "Ceramic Steel", *Nature*, 258 703-704 (1975).
19. 흥기곤, "共沈法으로 製造한 Al_2O_3 - ZrO_2 係 세라믹스의 機械的性質", 延世大學敎 窯業工學科 碩士學位論文, (1985).